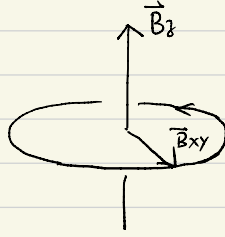


第六讲

3. NMR与INS可给出更加详细的信息, 以下是从理论的角度的一个简介.

① NMR:



忽略核子自旋-相互作用. $H_0 = -\frac{\hbar\omega_0}{2}\sigma_z$, 基态 $|0\rangle = |\uparrow\rangle$

加上 XY 平面内的交变磁场 $\vec{B}_{xy}(\omega) = \hat{x} B_{xy} \cos(\omega t) + \hat{y} B_{xy} \sin(\omega t)$

$$H = H_0 + \hbar\tilde{\omega} [\cos(\omega t)\sigma_x + \sin(\omega t)\sigma_y] \quad (\hbar\tilde{\omega} \propto B_{xy}, H' \propto \vec{B}_{xy} \cdot \vec{\sigma})$$

假设我们扫描 ω (即连续地改变 ω), 当 $\omega = \omega_0$ 时共振: $|t\rangle = \cos\frac{\omega_0 t}{2} e^{i\frac{\omega_0 t}{2}} |\uparrow\rangle - i \sin\frac{\omega_0 t}{2} e^{i\frac{\omega_0 t}{2}} |\downarrow\rangle$

再看 $\hbar\omega_0$: $\hbar\omega_0 = g_N \mu_N B + \Delta B_{ex}$

g_N 因子, $\mu_N = \frac{e\hbar}{2mpc}$ 是核子, $g_N \mu_N B$ 是势能差 $= \hbar\omega_0$

ΔB_{ex} : 由近邻电子的自旋产生的磁场, 通过与核自旋一起精细耦合:

$$\Delta B_{ex} = A_{\text{hyperfine}} \cdot \langle S^z \rangle_{loc} \quad \Delta B \sim \hbar\Delta\omega$$

g_N, μ_N 与 $A_{\text{hyperfine}}$ 已知 (通过其它实验), NMR 扫描得到 ω_0 与 $g_N \mu_N B$

的偏差告诉我们核子所在格点 $\langle S^z \rangle_{loc}$ 随 B 的变化情况. (此偏差称为 *knight shift*)

$$\chi_{loc} = \lim_{B \rightarrow 0} \frac{\Delta B_{ex}}{A_{\text{hyperfine}} B}$$

称为 *局域磁化率 (local susceptibility)*: 对不均匀 (无序) 系统特别有用.

此与共振谱线“展宽”, 称为非均匀展宽

② NMR 实验的另一个可测量: **弛豫率 $\frac{1}{T_1}$**

仍然考虑一个核自旋在 z 方向外场中极化. 加上一个 π 脉冲: XY 平面内, 持续时间

刚好将自旋从 +z 转到 -z. 即自旋获得 Zeeman 能 $g\mu_N B$. 记为 $\hbar\omega_N$

这可理解为制备了一个态 $|1\rangle$, 自旋应该自发地回到基态 $|0\rangle$. 时间定义为 T_1

通过拟合核自旋 $\langle I^z \rangle(t)$ 实验曲线: 指数变为基态值 e^{-t/T_1} , 可以得到 $\frac{1}{T_1}$.

现在的问题是 $\frac{1}{T_1}$ 测值代表什么意义?

核自旋 $I^z(j)$ 之所以能跃迁回 $|0\rangle$, 是由于其与同位置电子 spin 的耦合.

$$H_{hf} = A_{hf} \sum_j \vec{I}^z(j) \cdot \vec{S}(j) = A_{hf} \sum_j [I^z(j)S^z(j) + \frac{1}{2}(I^+(j)S^-(j) + I^-(j)S^+(j))]$$

由于这个耦合, 每个核自旋的反转减小 $\hbar\omega_N = g\mu_N B$ 的 Zeeman 能, 就会增加相同 $\hbar\omega_N$ 电子 Zeeman 能.

由于 S^z 与 H_{hf} 对易, 无法导致电子跃迁. 所以只考虑 S^+ , S^- 的效果

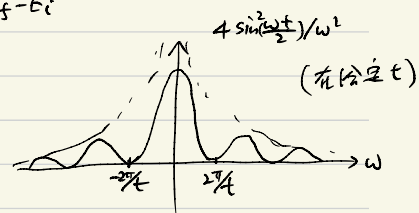
利用 u, v 量子跃迁公式:

$$C_f(t) = \frac{1}{i\hbar} \int_0^t \langle f | H_{hf}(t') | i \rangle e^{i\omega_{fi}t'} dt', \quad \omega_{fi} = E_f - E_i, \quad P_{fi} = |C_f(t)|^2, \quad W_{fi} = \frac{dP_{fi}}{dt} \text{ 为跃迁速率}$$

假设 常微扰: $H(t) = \begin{cases} 0, & t < 0 \\ V, & t > 0 \end{cases}, \quad C_f = \frac{1}{i\hbar} V_{fi} \int_0^t e^{i\omega_{fi}t'} dt' = \frac{V_{fi}}{E_f - E_i} (1 - e^{i\omega_{fi}t})$

$$P_{fi} = \frac{|V_{fi}|^2}{|E_f - E_i|^2} (2 - 2\cos\omega_{fi}t) = \frac{4|V_{fi}|^2}{\omega_{fi}^2} \sin^2\left(\frac{\omega_{fi}t}{2}\right)$$

$\omega_{fi} = 0$ 处, 值 $\propto t^2$, 宽度 $\propto \frac{1}{t}$ 提示 δ 函数



当 $t \rightarrow \infty$, 只有 $|\omega_{fi}| = \frac{2\pi}{t}$ 内的状态可到达.

利用: $\lim_{\alpha \rightarrow \infty} \frac{\sin^2 \alpha x}{\alpha x^2} = \delta(x)$

$$P_{fi} = \pi |V_{fi}|^2 \delta\omega_{fi} t,$$

跃迁速率

$$W_{fi} = \frac{dP_{fi}}{dt} = \pi |V_{fi}|^2 \delta\omega_{fi} \leftarrow \text{Fermi's Golden rule}$$

设 $|c_i(t)\rangle$ 是系统处于 i 态的几率. 则 $\frac{d|c_i(t)|^2}{dt} = -\sum_j W_{ji} |c_i(t)|^2$

设 $|c_i(t)\rangle = e^{-t/T_1}$, 则 $\frac{1}{T_1} = \sum_j W_{ji}$

在 NMR 中, 初态: $|N\rangle|n\rangle_e$, 末态 $|N\rangle|m\rangle_e$, 因此 $|V_{fi}|^2 = |\langle m|S^-|n\rangle|^2$, $\delta\omega_{fi} \rightarrow \delta(\omega_N + E_n - E_m)$

再考虑电子初态的统计分布, 我们得到核自旋 $\vec{I}(\vec{r})$ 的弛豫

$$\frac{1}{T_1} = \frac{2\pi |A_{NS}|^2}{\Omega} \sum_{m,n} e^{-\beta E_n} |\langle m|S^-(\vec{r}_0)|n\rangle|^2 \delta(\omega_N + E_n - E_m)$$

之前我们定义过 **动力学结构因子**

$$S(\omega) = \int dt e^{i\omega t} \langle A(t)A(0) \rangle = \frac{2\pi}{\Omega} \sum_{nm} e^{-\beta E_n} |A_{nm}|^2 \delta(\omega - E_m)$$

这里 **推广**: $\langle A(t)A(0) \rangle \rightarrow \langle S^+(\vec{r}, t) S^-(\vec{r}, 0) \rangle$, $S^-(\vec{r}) = \sum_j e^{i\vec{r} \cdot \vec{r}_j} S^-(\vec{r}_j)$

那么: $|A_{nm}|^2 \rightarrow \langle n|S^+(\vec{r})|m\rangle \langle m|S^-(\vec{r})|n\rangle = |\langle m|S^-(\vec{r})|n\rangle|^2$

$$S(\omega) \rightarrow S^-(\vec{r}, \omega) = \frac{2\pi}{\Omega} \sum_{nm} e^{-\beta E_n} |\langle m|S^-(\vec{r})|n\rangle|^2 \delta(\omega - E_m)$$

我们考虑到:

$$|\langle m|S^-(\vec{r})|n\rangle|^2 = \langle n|S^+(\vec{r})|m\rangle \langle m|S^-(\vec{r})|n\rangle = \int \langle n|S^+(\vec{q})|m\rangle \langle m|S^-(\vec{q})|n\rangle e^{-i\vec{r} \cdot (\vec{q} + \vec{r})} e^{i\vec{r} \cdot \vec{q}} \frac{d^d q}{(2\pi)^d} \frac{d^d q'}{(2\pi)^d}$$

$$\text{对 } \vec{r} \text{ 取平均: } \frac{1}{N} \sum_{\vec{r}} |\langle m|S^-(\vec{r})|n\rangle|^2 = \int \langle n|S^+(\vec{q})|m\rangle \langle m|S^-(\vec{q})|n\rangle \frac{1}{N} \sum_{\vec{r}} e^{i\vec{r} \cdot (\vec{q} - \vec{q}')} d\vec{q} d\vec{q}' = \int \frac{d^d q}{(2\pi)^d} |\langle n|S^-(\vec{q})|m\rangle|^2$$

$$\text{于是: } \frac{1}{T_1} = |A_{NS}|^2 \int \frac{d^d q}{(2\pi)^d} S^-(\vec{q}, \omega_N)$$

我们看到 NMR 的 $\frac{1}{T_1}$ 给出了频率为 $\omega = \omega_N$ 的动力学自旋结构因子在动量空间的积分.

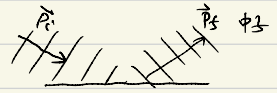
(在整个 Brillouin Zone 内的积分)

ω_N 其实就是核自旋的 Larmor frequency (经典图像下自旋的进动频率)

③ 非弹性中子散射

一束中子，每个中子能量为 E ，照射样品（温度为 T ），由于与原子核以及中子磁矩、磁偶极相互作用，被样品散射

• 通过技术手段，可以“滤掉”原子核的散射效果



根据 Fermi's Golden rule, 跃迁速率由动量转移 $\hbar\vec{q} = \vec{p}_f - \vec{p}_i$ 和能量转移 $\hbar\omega$ 决定

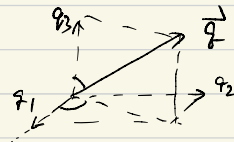
跃迁速率正比于 $\langle S | V_{dipole} | i \rangle | \delta(\Delta E_{fi} - \hbar\omega) |$

最终非弹性中子散射强度

dynamic structure factor

$$I(\vec{q}, \omega) \propto \sum_{\alpha\beta} (\hat{v}_{\alpha\beta} - \hat{q}_{\alpha} \hat{q}_{\beta}) S^{\alpha\beta}(\vec{q}, \omega)$$

其中 $\hat{q}_{\alpha} = \frac{q_{\alpha}}{|\vec{q}|}$ 表示方向。前面系数由磁偶极作用的形式决定



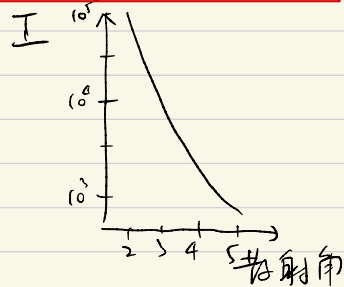
对于弹性散射

$$I(\vec{q}, 0) \propto \langle |S^{\alpha}(\vec{q})|^2 \rangle = \langle \left| \int d\vec{r} e^{-i\vec{q}\cdot\vec{r}} \hat{S}(\vec{r}) \right|^2 \rangle \propto \langle |S_{\vec{q}}|^2 \rangle$$

实验发现在 $T \rightarrow T_c$: $q \rightarrow 0$.

$$I(\vec{q}, 0) \propto q^{-2+\eta}$$

, η 是临界指数.



$$\langle |S_{\vec{q}}|^2 \rangle = \int d\vec{r}_1 d\vec{r}_2 \langle S(\vec{r}_1) S(\vec{r}_2) \rangle e^{+i\vec{q}\cdot(\vec{r}_1 - \vec{r}_2)} = G(\vec{q})$$

即利用中子散射问关联函数

附录:

$$H = -\frac{\hbar\omega_0}{2} \sigma_z + \hbar\delta (\cos\omega t \sigma_x - \sin\omega t \sigma_y)$$

S-eg 方程 $\frac{d|t\rangle}{dt} = (H_0 + H')|t\rangle$ 的解设为

$$|t\rangle = c_1 e^{i\omega_0 t} |\uparrow\rangle + c_2 e^{-\frac{i\omega_0 t}{2}} |\downarrow\rangle, \quad t=0 \text{ 时: } c_1=1, c_2=0$$

代入 S-eg:

$$i\dot{c}_1 e^{\frac{i\omega_0 t}{2}} |\uparrow\rangle + c_2 e^{-\frac{i\omega_0 t}{2}} |\downarrow\rangle = \delta [\cos\omega t (c_1 e^{\frac{i\omega_0 t}{2}} |\uparrow\rangle + c_2 e^{-\frac{i\omega_0 t}{2}} |\downarrow\rangle) - \sin\omega t (ic_1 e^{\frac{i\omega_0 t}{2}} |\downarrow\rangle - ic_2 e^{-\frac{i\omega_0 t}{2}} |\uparrow\rangle)]$$

$$\Rightarrow \begin{cases} i\dot{c}_1 = \delta (\cos\omega t + i\sin\omega t) e^{-i\omega_0 t} c_2 = \delta e^{i(\omega-\omega_0)t} c_2 \\ i\dot{c}_2 = \delta (\cos\omega t - i\sin\omega t) e^{\frac{i\omega_0 t}{2}} c_1 = \delta e^{-i(\omega-\omega_0)t} c_1 \end{cases}$$

共振时 ($\omega = \omega_0$):

$$\begin{cases} i\dot{c}_1 = \delta c_2 \\ i\dot{c}_2 = \delta c_1 \end{cases} \Rightarrow \dot{c}_1 = -\delta^2 c_1 \Rightarrow \begin{cases} c_1 = a \cos(\delta t) + b \sin(\delta t) \\ c_2 = -ia \sin(\delta t) + bi \cos(\delta t) \end{cases}$$

$$\text{初始条件} \Rightarrow \begin{cases} c_1 = \cos(\delta t) \\ c_2 = -i \sin(\delta t) \end{cases}$$

